

Potencial Coulombiano

$$V(r) = \frac{Q}{r} \Rightarrow \vec{E} = -\vec{\nabla} V = -\frac{\partial}{\partial r} \left(\frac{Q}{r} \right) \hat{r} \Rightarrow \vec{E} = \frac{Q}{r^2} \hat{r}$$

Função de Green e o Potencial

$$\bullet \nabla^2 G(\vec{r}, \vec{r}') = \delta^3(\vec{r} - \vec{r}') \Leftrightarrow G(\vec{r}, \vec{r}') = -4\pi G(\vec{r} - \vec{r}') = \frac{1}{|\vec{r} - \vec{r}'|}$$

$$\bullet v(\vec{r}) = - \int_V G(\vec{r}, \vec{r}') \rho(\vec{r}') d^3x = - \int_V \frac{\rho(\vec{r}')}{|\vec{r} - \vec{r}'|} d^3x$$

$$\Rightarrow \begin{cases} \nabla^2 v(\vec{r}) = -\rho(\vec{r}) \\ \nabla^2 G(\vec{r}, \vec{r}') = \delta^3(\vec{r} - \vec{r}') \end{cases} \Rightarrow \nabla^2 v(\vec{r}) = - \int_V \nabla^2 G(\vec{r}, \vec{r}') \rho(\vec{r}') d^3x$$

$$\Rightarrow \nabla^2 v(\vec{r}) = - \int_V \delta^3(\vec{r} - \vec{r}') \rho(\vec{r}') d^3x \Rightarrow \nabla^2 v(\vec{r}) = -\rho(\vec{r})$$

Campo elétrico

$$\vec{E}(\vec{r}) = -\vec{\nabla} \cdot v(\vec{r}) = \vec{\nabla} \cdot \int_V \frac{\rho(\vec{r}')}{|\vec{r} - \vec{r}'|} d^3x = - \int_V \rho(\vec{r}') \frac{\vec{r} - \vec{r}'}{|\vec{r} - \vec{r}'|^3} d^3x$$

Monopolo Magnético [Problemas]

$$\bullet \vec{B} = \mu_m \cdot \frac{1}{r^2} \hat{r}, \text{ onde } \mu_m \text{ representa a densidade magnética de cargas}$$

$$\bullet \vec{B} = \vec{\nabla} \times \vec{A} = \left(\frac{1}{r \sin \theta} \frac{\partial (\sin \theta A_\varphi)}{\partial \theta} - \frac{\partial (A_\theta)}{\partial \varphi} \right) \hat{r} + \left(\frac{1}{r} \left(\frac{1}{\sin \theta} \frac{\partial (A_r)}{\partial \varphi} - \frac{\partial (r A_\varphi)}{\partial r} \right) \right) \hat{\theta} + \left(\frac{1}{r} \left(\frac{\partial (r A_\theta)}{\partial r} - \frac{\partial (A_r)}{\partial \theta} \right) \right) \hat{\varphi}$$

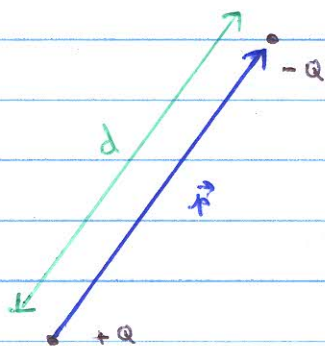
$$\bullet \vec{\nabla} \cdot \vec{A} = \frac{1}{r^2} \frac{\partial (r^2 A_r)}{\partial r} + \frac{1}{r \sin \theta} \frac{\partial (\sin \theta A_\theta)}{\partial \theta} + \frac{1}{r \sin \theta} \frac{\partial A_\varphi}{\partial \varphi}$$

$$\Rightarrow \vec{A} = \frac{\rho_m (1 - \cos\theta)}{r \sin\theta} \hat{\psi} \begin{cases} \vec{A}_N = \frac{\rho_m (1 - \cos\theta)}{r \sin\theta} \hat{\psi} \\ \vec{A}_S = -\frac{\rho_m (1 + \cos\theta)}{r \sin\theta} \hat{\psi} \end{cases} \Rightarrow \vec{A}_S - \vec{A}_N = \frac{-2\rho_m}{r \sin\theta} \hat{\psi} = \nabla \Lambda$$

função de Calibre ↗

singularidade em $\theta = \pi \Rightarrow$ não é globalmente definido ↖

Dipolo



- $V = \frac{q}{r} - \frac{q}{|\vec{r} + \vec{d}|}$
- $f(\vec{r} + \vec{d}) \approx f(\vec{r}) + \vec{d} \cdot \nabla f(\vec{r})$
- $\Rightarrow \frac{1}{|\vec{r} + \vec{d}|} \approx \frac{1}{r} - \frac{\vec{d} \cdot \vec{r}}{r^3}$
- $\vec{p} = q\vec{d}$

$$\Rightarrow V \approx \frac{q}{r} - q \left(\frac{1}{r} - \frac{\vec{d} \cdot \vec{r}}{r^3} \right) \Rightarrow \boxed{V \approx \frac{\vec{p} \cdot \vec{r}}{r^3}} \Rightarrow \boxed{\vec{E} \approx -\frac{q \vec{p} \cdot \vec{r}}{r^4} \hat{r}}$$

• fazendo $\vec{r}' \leftrightarrow -\vec{d}$:

$$\Rightarrow V = - \int_V \frac{\rho(\vec{r}') d^3 r'}{|\vec{r} - \vec{r}'|} \rightarrow V \approx \int_V \rho(\vec{r}') \left(\frac{1}{r} + \frac{\vec{r} \cdot \vec{r}'}{r^3} + \dots \right) d^3 r'$$

$$\Rightarrow V \approx \underbrace{\frac{1}{r} \int_V \rho(\vec{r}') d^3 r'}_q + \frac{1}{r^3} \underbrace{\int_V \rho(\vec{r}') \vec{r}' \cdot \vec{r} d^3 r'}_{\vec{p}} + \dots$$

$$\Rightarrow V \approx \frac{q}{r} + \frac{1}{r^3} \vec{p} \cdot \vec{r} + \text{expansões em multipolos}$$

OBS: $V_{\text{quad}} = \frac{\Gamma_i \Gamma_j q_{ij}}{2r^3}$, $q_{ij} = \int_V \rho(\vec{r}') (3r'_i r'_j - \delta_{ij} r'^2) d^3 r'$

Notação em D-branas

↳ formalismo em formas diferenciais

$$\bullet \text{ n-forma} : A_{\mu_1 \dots \mu_n} = A_{(n)} = \frac{1}{n!} A_{\mu_1 \dots \mu_n} dx^{\mu_1} \wedge dx^{\mu_2} \wedge \dots \wedge dx^{\mu_n}$$

$$\bullet \text{ wedge } (\wedge) : dx^\mu \wedge dx^\nu = - dx^\nu \wedge dx^\mu$$

$$\bullet \partial_\mu \rightarrow d = \frac{\partial}{\partial x^\mu} = dx^\mu$$

• Dual de Hodge (*): * n-forma \rightarrow (D-n)-forma

$$\hookrightarrow (*F)_{\mu_1 \dots \mu_{D-n}} = \frac{1}{n!} \epsilon^{\nu_1 \dots \nu_n} F_{\nu_1 \dots \nu_n}$$

$$\bullet \int_M F_{(n+1)} = \int_M F_{1 \dots n+1} d^{n+1}x$$

$$\bullet F_{n+1} = dA_{(n)} = \frac{1}{n!} \left(\frac{\partial}{\partial x^\mu} A_{\mu_1 \dots \mu_n} \right) dx^{\mu_1} \wedge \dots \wedge dx^{\mu_n}$$

Nas equações de Maxwell

$$\begin{cases} \partial_\mu \rightarrow d \\ \tilde{F} \rightarrow *F \end{cases} \Rightarrow \begin{cases} dF = *J_m \\ d(*F) = *J_e \end{cases}$$

Partículas pontiformes (carga: $\delta^3(\vec{x})$)

$$\hookrightarrow \text{Acoplamento} : e \int A_\mu \dot{x}^\mu d\tau = e \int A_\mu dx^\mu = e \int A_{(1)}$$

Teorema

↳ não existe uma configuração de cargas em equilíbrio estável

⇒ As harmônicas não possuem máximos ou mínimos ($\nabla^2 v = 0$)

Energia Eletrostática em distribuições finitas

$$U(\vec{r}) = - \int_{\infty}^{\vec{r}} \vec{F} \cdot d\vec{r} = q \int_{\infty}^{\vec{r}} \vec{\nabla} V \cdot d\vec{r} \quad \begin{matrix} \text{se } r \rightarrow \infty \\ V(\vec{r}) \rightarrow 0 \end{matrix} \quad U(\vec{r}) = q V(\vec{r})$$

Distribuição Pontual

$$\left\{ \begin{array}{l} U = \sum_i w_i = \frac{1}{2} \sum_{\substack{i,j \\ i \neq j}} \frac{q_i q_j}{|\vec{r}_i - \vec{r}_j|} \\ V(\vec{r}_i) \equiv \sum_{j \neq i} \frac{q_j}{|\vec{r}_i - \vec{r}_j|} \end{array} \right. \Rightarrow U = \frac{1}{2} \sum_i q_i V(\vec{r}_i)$$

OBS: resultado não inclui a autoenergia das partículas

Distribuição contínua

$$\left\{ \begin{array}{l} \sum_i \rightarrow \int d^3 r \\ q_i \rightarrow \rho(\vec{r}) \end{array} \right. \Rightarrow U = \frac{1}{2} \int_{\mathbb{R}^3} \rho(\vec{r}) V(\vec{r}) d^3 r$$

$$\left\{ \begin{array}{l} \vec{\nabla} \cdot \vec{E} = 4\pi \rho(\vec{r}) \\ [V(\vec{r})]_{\partial \mathbb{R}^3} = 0 \\ \vec{\nabla} V = -\vec{E} \end{array} \right. \Rightarrow U = \frac{1}{8\pi} \int_{\mathbb{R}^3} E^2 d^3 r > 0$$

OBS: resultado já inclui a autoenergia das partículas

Exemplos

⊕ Elétron de raio a na origem

$$U = \frac{1}{8\pi} \int_{\mathbb{R}^3} E^2 d^3 r$$

$$\vec{E} = \frac{e}{r^2} \hat{r} \Rightarrow U = \frac{1}{8\pi} \cdot 4\pi \int_a^\infty \frac{e^2}{r^2} dr \Rightarrow U = \frac{e^2}{2a} < m_e c^2$$

$$d^3 r = 4\pi r^2 dr$$

Entre dois dipolos

$$U = \frac{1}{2} \sum_i q_i V(\vec{r}_i)$$

$$V \underset{\text{dip}}{\approx} \frac{\vec{p} \cdot \vec{r}}{r^3} \quad \Rightarrow \quad U \approx \frac{q}{2} \left(\frac{\vec{p}_1 \cdot \vec{r}_1}{r_1^3} - \frac{\vec{p}_2 \cdot (\vec{r}_1 - \vec{d})}{r_2^3} \right) \quad \Rightarrow \quad U \approx \frac{\vec{p}_1 \cdot \vec{p}_2}{r^3}$$

$$\vec{p} = q\vec{d}$$

Obs: interpretar o elétron como partícula singular falha para a região $r \ll a$. Da junção Relat. Restrita \rightarrow Mec. Quântica surge:

$$\begin{cases} \alpha = \lambda_c = \frac{h}{m_e c} \\ E \neq 0 \end{cases}$$

$$\text{, como } \frac{e^2}{4\pi\epsilon_0 a} < m_e c^2 \Rightarrow \frac{\alpha}{a} < 1, \quad \alpha = \frac{e^2}{\hbar c} = \frac{1}{137}$$

↓
estrutura fina